



دانشگاه صنعتی سهند

نشریه علمی غیرخطی در مهندسی برق

دوره ۷ - شماره ۱

بهار و تابستان ۱۳۹۹

صفحات ۱۴۹ الی ۱۶۲

ISSN: 2322-3146

http://jnsee.sut.ac.ir

مدل سازی بلادرنگ، متعامل و رزولوشن بالای بافت نرم به روش

غنی سازی مبتنی بر داده

زهرا بونیک^۱، موسی شمسی^۲ و محمد حسین صدیقی^۳

^۱ دانشجوی دکتری، دانشکده مهندسی برق، دانشگاه صنعتی سهند تبریز، z_bounik@sut.ac.ir

^۲ نویسنده مسئول، استاد، دانشکده مهندسی پزشکی، دانشگاه صنعتی سهند تبریز، shamsi@sut.ac.ir

^۳ استاد، دانشکده مهندسی برق، دانشگاه صنعتی سهند تبریز، sedaaghi@sut.ac.ir

(تاریخ دریافت مقاله: ۱۳۹۹/۰۲/۱۴ تاریخ پذیرش مقاله: ۱۳۹۹/۰۸/۲۶)

چکیده

واژه‌های کلیدی

مدل سازی بلادرنگ و متعامل،

غنی سازی مبتنی بر داده،

تغییر شکل بافت نرم.

در این مقاله روشی برای مدل سازی بلادرنگ و متعامل بافت نرم در رزولوشن بالا بررسی می شود که در آن مدل درشت بافت نرم با غنی سازی مبتنی بر داده به مدل ظریف تبدیل می شود. برای این منظور در مرحله پیش پردازش نمونه های متناظر درشت و ظریف برای ساخت پایگاه داده های آموزشی ایجاد می شوند. با استفاده از یک رگرسور، مدل درشت مرحله آزمایش با مدل های درشت مرحله آموزش مقایسه شده و وزنهایی به هر نمونه آموزشی تخصیص می یابد و با این وزنها بافت ظریف مرحله آزمایش با ترکیب خطی مدل های ظریف آموزشی تخمین زده می شود. با فرض تغییر شکل های محلی ناشی از اعمال نیرو به بافت، روشی برای استخراج بردار ویژگی پیشنهاد می شود که تغییرات مکانی گره محل تماس و گره های اطراف آن را روی مش مدنظر قرار داده و از تغییرات گره های دورتر صرف نظر می کند. این مساله باعث کاهش بعد بردار ویژگی و در نتیجه کاهش پیچیدگی محاسبات می شود. برای تعیین میزان شباهت و محاسبه وزن های ترکیب خطی، از رگرسور غیر خطی با هسته گوسی استفاده می شود و برای کاهش اعوجاج ناشی از وزن های منفی، الگوریتم حداقل مربعات غیر منفی در رگرسور اعمال می شود. روش پیشنهادی روی دو مدل بافت نرم پیاده سازی شده و از نظر دقت بازسازی، پیچیدگی محاسباتی و زمان شبیه سازی مورد بررسی قرار گرفته است.



Sahand University
of Technology

Journal of Nonlinear
Systems in Electrical
Engineering

Vol.7, No.1

Spring and Summer 2020

ISSN: 2322 – 3146

<http://jnsee.sut.ac.ir>

Real-time Interactive High Resolution Soft Tissue Modeling in a Data-Driven Enrichment Approach

Zahra Bounik¹, Mousa Shamsi², and Mohammad Hossein Sedaaghi³

¹PhD Candidate, Electrical Engineering, Islamic Azad University, Khomeinishahr Branch, Isfahan, Iran

²**Corresponding Author**, Assistant Professor, Electrical Engineering, Islamic Azad University, Khomeinishahr Branch, Isfahan, Iran, mm.rezaei@iaukhsh.ac.ir

³Assistant Professor, Electrical Engineering, Islamic Azad University, Khomeinishahr Branch, Isfahan, Iran

⁴Assistant Professor, Mathematics and Statistics, Islamic Azad University, Khomeinishahr Branch, Isfahan, Iran

ABSTRACT

Keywords

Real-time interactive modeling,
Data-driven enrichment,
Soft tissue deformation.

In this paper, a real-time interactive high resolution soft tissue modeling is implemented that enriches a coarse model in a data-driven approach to produce a fine model. As a preprocess step, a set of corresponding coarse and fine models are simulated for the database. In the test step, by using a regressor, the coarse model in the test set is compared to the coarse models in the training set and the blending weights are assigned to the training coarse models. These weights are used for approximating the fine model as a linear combination of the corresponding fine models in the train set. To decrease the computational complexity, assuming that applying a force on the tissue results in a local deformation, a feature extraction algorithm is proposed that considers the displacements of the contact node and its neighbor nodes and ignores the rest. This results in a low dimensional feature vector and decreases the computational complexity. In order to compute the blending weights, a nonlinear regressor with Gaussian kernel is leveraged. To eliminate the artefacts resulting from negative weights, a nonnegative least square algorithm is used for regression. Simulation results of applying the proposed method on two soft tissue models are investigated regarding the reconstruction accuracy, computational complexity and running time.

۱- مقدمه

مدل‌سازی متعامل^۱ و باکیفیت بافت نرم که از نظر کاربر مشابه بافت واقعی رفتار کند یکی از چالش‌های اساسی و مهم تحقیقات اخیر در زمینه شبیه‌سازهای جراحی، واقعیت مجازی و انیمیشن است. به دلیل طبیعت غیرخطی بافت نرم، اعمال نیرو به آن منجر به تغییر شکل‌های غیرخطی می‌شود و این مساله مدل‌سازی متعامل و باکیفیت بافت را با چالش‌های بسیاری مواجه می‌کند [۱, ۲]. روش‌های گوناگونی برای حل این مشکل ارائه شده است که از جمله مهم‌ترین آن‌ها می‌توان به شبیه‌سازی بر اساس قوانین فیزیکی^۲ و شبیه‌سازی مبتنی بر داده^۳ اشاره کرد.

شبیه‌سازی بر اساس قوانین فیزیکی که اولین بار توسط Therzopolus و همکاران [۳] برای مدل‌سازی بافت نرم در کاربردهای گرافیک کامپیوتری ارائه شد، روشی ابتکاری است که از ترکیب قانون حرکت نیوتن با ویژگی‌های فیزیکی بافت نرم، روش‌های حل عددی و گرافیک کامپیوتری استفاده می‌کند. با توجه به پیاده‌سازی قوانین فیزیکی، این روش امکان تعامل با بافت نرم را حتی در موقعیت‌ها و شرایط فیزیکی جدید فراهم می‌کند. به همین دلیل استفاده از آن در مدل‌سازی طیف وسیعی از انواع بافت نرم مانند اعضای داخلی بدن در شبیه‌سازهای جراحی و چهره و لباس کاراکترهای انیمیشنی مرسوم شده است [۷-۱۰]. از مرسوم‌ترین راه‌های پیاده‌سازی آن می‌توان به روش اجزای محدود^۴ [۴]، روش جرم-فنر^۵ [۵] و الگوریتم‌های بدون مش^۶ [۶] اشاره کرد. مشکلی که در مدل‌سازی بافت نرم با دقت و کیفیت بالا بر اساس قوانین فیزیکی وجود دارد، نیاز به افزایش رزولوشن برای افزایش دقت شبیه‌سازی است که این امر موجب افزایش پیچیدگی محاسبات و در نتیجه کاهش سرعت شبیه‌سازی می‌شود و این مساله نیز به نوبه خود مانع مدل‌سازی بلادرننگ^۷ بافت نرم می‌شود. در پاسخ به این چالش، مدل‌سازی چند رزولوشنی^۸ [۱۱, ۱۲]، مدل‌سازی چندلایه^۹ [۱۳]، مدل‌های کاهشی^{۱۰} [۱۴-۱۸]، مدل‌های جاسازی شده^{۱۱} [۱۹, ۲۰] و درشت‌سازی عددی^{۱۲} [۲۴-۲۱] برای ایجاد مصالحه‌ای^{۱۳} بین دقت و سرعت شبیه‌سازی در حوزه شبیه‌سازی بر اساس قوانین فیزیکی مطرح شدند.

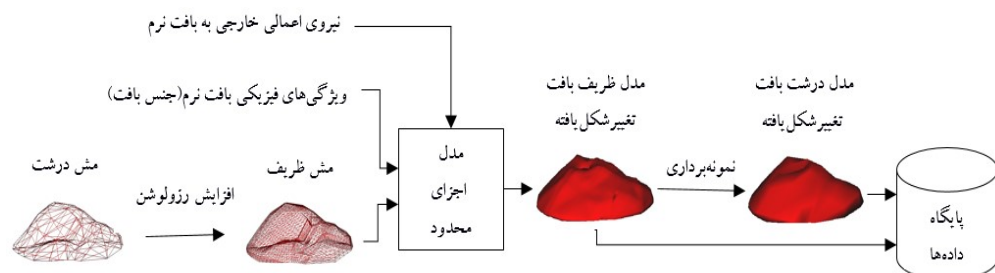
در روش مبتنی بر داده، بافت نرم با استفاده از پایگاه داده‌های مناسب و تکنیک‌های یادگیری ماشین شبیه‌سازی می‌شود. مزیت این روش سرعت بالای مدل‌سازی در مقایسه با روش شبیه‌سازی فیزیکی است. این تکنیک استفاده گسترده‌ای در صنعت انیمیشن و فیلم‌سازی برای مدل‌سازی بافت چهره، بدن انسان و لباس شخصیت‌ها دارد [۲۵-۲۷]. با وجود سرعت بالای شبیه‌سازی بافت نرم حتی در رزولوشن‌های بالا به روش مبتنی بر داده، این روش امکان تعامل با بافت در شرایط محیطی جدید و از قبل تعیین نشده را ندارد، به این دلیل که مدل حاصل از این روش وابسته به اطلاعات از قبل ذخیره شده در پایگاه داده‌ها است. برای استفاده از مزیت مدل‌سازی مبتنی بر داده (سرعت بالا) و ویژگی تعامل با محیط در شبیه‌سازی براساس قوانین فیزیکی، بسته به کاربرد، روش‌های ترکیبی مانند شبیه‌سازی چندلایه‌ای^{۱۴} و غنی‌سازی مبتنی بر داده مطرح شدند. ایده‌ای که برای افزودن تغییر شکل‌های دینامیکی و جزئیات بافت ارائه شده است، استفاده از یک لایه شبیه‌سازی شده برای بافت نرم کل بدن به روش مبتنی بر داده است و لایه نازک بیرونی که تغییرات ظریف شامل پوست بدن انسان را شامل می‌شود با استفاده از قوانین فیزیکی شبیه‌سازی می‌شود [۲۸]. در غنی‌سازی مبتنی بر داده، بافت نرم در رزولوشن پایین با استفاده از قوانین فیزیکی شبیه‌سازی می‌شود و در نتیجه ویژگی تعامل با محیط را داراست. برای افزودن جزئیات رزولوشن بالا و اطلاعات اضافی دیگر، این مدل با استفاده از نمونه‌های موجود در پایگاه داده‌ها به روش مبتنی بر داده غنی‌سازی می‌شود [۲۹, ۳۰].

هدف این مقاله شبیه‌سازی متعامل و بلادرنگ بافت نرم در رزولوشن بالا (مدل ظریف^{۱۵}) است که حاوی جزئیات فرکانس بالا بوده و در نتیجه از نظر کاربر مشابه با بافت واقعی عمل کند. برای این منظور از ترکیب روش شبیه‌سازی بر پایه قوانین فیزیکی و روش مبتنی بر داده بهره گرفته شده است. برای این که مدل‌سازی به صورت متعامل اما با سرعت بالا انجام شود، می‌توان مدل بافت نرم در رزولوشن پایین (مدل درشت^{۱۶}) را بر پایه قوانین فیزیکی شبیه‌سازی کرد. برای افزودن جزئیات دقیق رزولوشن بالا از روش مبتنی بر داده استفاده می‌شود که از اطلاعات تغییرشکل‌های ذخیره شده در پایگاه داده‌ها برای محاسبه سریع جزئیات بهره می‌برد. در زمان اجرا، بر اساس همبستگی میان این مدل درشت بافت نرم آزمایشی با مدل‌های درشت موجود در پایگاه داده‌ها، وزن‌های لازم برای ترکیب جزئیات استخراج شده از مدل‌های ظریف متناظر محاسبه می‌شود. در نهایت، این جزئیات به مدل نرم درشت افزوده می‌شوند تا مدل ظریف به دست آید.

بر این اساس در بخش بعد ابتدا به طور مختصر نحوه ایجاد مدل بافت نرم متناظر در رزولوشن‌های پایین و بالا برای پایگاه داده‌ها با استفاده از روش اجزای محدود مورد بررسی قرار می‌گیرد. برای استفاده از داده‌های موجود در پایگاه داده‌ها، در بخش ۳ ابتدا روشی برای استخراج بردار ویژگی پیشنهاد می‌شود که به ویژه تغییرشکل در نقطه اعمال نیرو در مش و گره‌های اطراف آن را به عنوان ویژگی‌های مهم مدنظر قرار می‌دهد. این روش همچنین این امکان را فراهم می‌کند که در مش‌های با شکل هندسی متقارن، تعداد اطلاعات مورد نیاز برای پایگاه داده‌ها کاهش یابد. سپس محاسبات ریاضی مربوط به روش مبتنی بر داده با استفاده از یک رگرسیون غیرخطی ارائه می‌شود. نتیجه پیاده‌سازی روش پیشنهادی در بخش ۴ ارائه می‌شود و کارایی آن در بخش بحث و نتیجه‌گیری مورد ارزیابی قرار می‌گیرد.

۲- پیش‌پردازش

در این مرحله نمونه‌هایی از تغییرشکل‌های متناظر بافت نرم الاستیک در رزولوشن‌های بالا و پایین برای پایگاه داده‌ها ایجاد می‌شود. اگر نمونه‌ها در هر دو رزولوشن بالا و پایین با استفاده از روش اجزای محدود مدل‌سازی شوند، به علت اختلاف زیاد دقت محاسبات، تغییرشکل حاصل از این دو مدل با یکدیگر متناظر نبوده و تفاوت زیادی با یکدیگر خواهند داشت. با در نظر گرفتن این مساله که سرعت و پیچیدگی محاسبات در مرحله پیش‌پردازش مطرح نیست و با توجه به این که با شبیه‌سازی مدل در رزولوشن بالاتر دقت شبیه‌سازی افزایش می‌یابد، برای ایجاد تغییرشکل‌های متناظر در رزولوشن‌های متفاوت به این روش عمل می‌شود که تغییرشکل بافت نرم ابتدا در رزولوشن بالا به روش اجزای محدود شبیه‌سازی می‌شود و سپس مدل درشت این تغییرشکل‌ها با نمونه‌برداری از مدل ظریف حاصل می‌شود [۳۱]. بلوک دیاگرام شکل ۱ روند تولید نمونه‌های متناظر برای پایگاه داده‌ها را نشان می‌دهد.



شکل ۱. بلوک دیاگرام مرحله پیش‌پردازش برای ایجاد پایگاه داده‌ها شامل مدل‌های درشت و ظریف متناظر برای بافت نرم تغییرشکل یافته.

۳- غنی‌سازی مبتنی بر داده

در این بخش روش پیشنهادی برای تعیین بردار ویژگی مطرح شده و سپس مدل رگرسیون غیرخطی برای محاسبه تابع تخمین مدل ظریف بر اساس مدل درشت شرح داده می‌شود.

۳-۱- روش پیشنهادی برای استخراج بردار ویژگی

استفاده از اطلاعات مکان و جابه‌جایی گره‌ها از جمله روش‌های مرسوم در مدل‌سازی بافت نرم است [۳۲]. در این مقاله نیز از اطلاعات جابه‌جایی گره‌ها در ایجاد بردار ویژگی، با پیشنهاد ایجاد تغییراتی در آن، استفاده شده است. در بافت نرم الاستیک با شکل هموار^{۱۷}، الگوهای^{۱۸} تغییرشکل حاصل از اعمال نیرو به گره‌های نزدیک به هم تا حد زیادی مشابه هم است. همچنین، با فرض این که اعمال نیروی حاصل از ابزار جراحی منجر به تغییر شکل‌های محلی روی بافت می‌شود، می‌توان از جابه‌جایی‌های ناچیز در گره‌های دور از نقطه تماس صرف‌نظر کرد. علاوه بر آن، به ویژه در مش‌های با شکل هندسی دارای تقارن، الگوی تغییرشکل بافت در گره‌های متفاوت که روی مش در موقعیت مشابهی قرار دارند مشابه هم است، اما چون این گره‌ها در بردار مکانی در موقعیت متفاوتی قرار دارند، بردارهای جابه‌جایی حاصل از آنها در مدل‌های نمونه از نظر فاصله اقلیدسی اختلاف زیادی با یکدیگر دارند. در شکل ۲ (الف) نشان داده شده است که برای تغییرشکل‌های یکسان حاصل از اعمال نیرو روی گره‌های متفاوت ۳ و ۵، عناصر در موقعیت‌های یکسان d_{xyzi} که نشان‌دهنده جابه‌جایی گره i ام در فضای سه بعدی هستند، در بردارهای ویژگی جابه‌جایی x_3 و x_5 دارای مقادیر متفاوت هستند (بزرگی و کوچکی d_{xyzi} در شکل، بیان‌گر بزرگی یا کوچکی میزان جابه‌جایی گره در اثر اعمال نیرو است). بنابراین برای تغییرشکل‌های یکسان، بردارهای جابه‌جایی متفاوت به دست می‌آید. روش پیشنهادی این مقاله برای حل این مساله به این صورت است که برای هر نمونه تغییرشکل در پایگاه داده‌ها، گره تماس (نقطه اعمال نیرو) به عنوان گره مرجع انتخاب شده و سایر گره‌ها نیز به ترتیب نزدیک‌ترین فاصله از گره مرجع تا دورترین گره مرتب می‌شوند. به این ترتیب بیش‌ترین جابه‌جایی‌ها که مربوط به گره تماس و گره‌های نزدیک به آن است برای نمونه‌های مختلف در جایگاه یکسان روی بردار ویژگی قرار می‌گیرند و این مساله امکان تشخیص الگوهای تغییرشکل مشابه برای گره‌های تماس متفاوت را فراهم می‌کند. این مساله در شکل ۲ (ب) برای دو بردار ویژگی x_3 و x_5 نمایش داده شده است که به روش پیشنهادی به دست آمده‌اند.

روش پیشنهادی همچنین امکان انتخاب ویژگی‌های پرمحتواتر را فراهم می‌کند و می‌توان از اطلاعات گره‌های به اندازه کافی دور از گره تماس در ایجاد بردار ویژگی صرف‌نظر کرده و پیچیدگی محاسبات و نیز میزان حافظه مورد نیاز را کاهش داد. بر این اساس بردار جابه‌جایی گره‌های مرتب شده بر پایه فاصله از نقطه تماس برای مدل درشت $X_{c(3m \times 1)} = U_c - U_{c0}$ و برای مدل ظریف به صورت $X_{f(3n \times 1)} = U_f - U_{f0}$ در نظر گرفته می‌شود که در آن U_{c0} و U_{f0} به ترتیب مکان گره‌های مرتب شده برای مش درشت و مش ظریف در حالت استراحت (حالت قبل از اعمال نیروی خارجی)، U_c و U_f به ترتیب مکان گره‌های مرتب شده برای مدل درشت و مدل ظریف، m تعداد گره‌ها در مش درشت و n تعداد گره‌ها در مش ظریف است. با فرض انتخاب گره تماس و اولین $l-1$ گره نزدیک به آن ($l < m$)، اندازه بردار ویژگی که همان بردار جابه‌جایی مرتب شده برای مدل درشت است برابر $3l \times 1$ خواهد بود ($X_{c(3l \times 1)}$).



$$X_3 = [d_{(xyz)0} \ d_{(xyz)1} \ d_{(xyz)2} \ \mathbf{d}_{(xyz)3} \ d_{(xyz)4} \ d_{(xyz)5} \ d_{(xyz)6} \ d_{(xyz)7} \ d_{(xyz)8} \ \dots]^T$$

$$X_5 = [\dots \ d_{(xyz)2} \ d_{(xyz)3} \ \mathbf{d}_{(xyz)4} \ \mathbf{d}_{(xyz)5} \ d_{(xyz)6} \ d_{(xyz)7} \ d_{(xyz)8} \ \dots]^T$$

(الف)



$$X'_3 = [\mathbf{d}_{(xyz)3} \ \mathbf{d}_{(xyz)2} \ \mathbf{d}_{(xyz)4} \ \mathbf{d}_{(xyz)1} \ \mathbf{d}_{(xyz)5} \ d_{(xyz)0} \ d_{(xyz)6} \ d_{(xyz)7} \ d_{(xyz)8} \ \dots]^T$$

$$X'_5 = [\mathbf{d}_{(xyz)5} \ \mathbf{d}_{(xyz)4} \ \mathbf{d}_{(xyz)6} \ \mathbf{d}_{(xyz)3} \ \mathbf{d}_{(xyz)7} \ d_{(xyz)2} \ d_{(xyz)8} \ \dots]^T$$

(ب)

شکل ۲. مقایسه بردارهای ویژگی تغییر شکل های مشابه حاصل از اعمال نیرو به گره های ۳ و ۵ با استفاده از مقادیر جابه جایی گره ها (الف) و با استفاده از ویژگی های جابه جایی مرتب شده به روش پیشنهادی (ب). بزرگی و کوچکی d_{xyz} بیان گر بزرگی یا کوچکی میزان جابه جایی گره در اثر اعمال نیرو است.

۲-۳- رگرسیون غیر خطی

هدف این مرحله یافتن تابع مناسب F برای رابطه $x_{fi} = F(x_{ci})$ است، به عبارت دیگر تابع F باید به صورتی باشد که بتواند با استفاده از اطلاعات مدل درشت آزمایش x_{ci} و اطلاعات پایگاه داده های آموزشی، مدل ظریف x_{fi} متناظر با آن را تخمین بزند. در این مرحله میزان شباهت و همبستگی مدل های درشت در پایگاه داده ها به مدل درشت مرحله آزمایش و همچنین نحوه ترکیب اطلاعات مدل های ظریفی که متناظر با مدل های درشت شبیه تر به مدل آزمایشی هستند مشخص می شود. برای این منظور از یک رگرسیون که مراحل تعیین همبستگی و درون یابی را به طور هم زمان پیاده سازی می کند استفاده می شود. با فرض تعداد k جفت نمونه متناظر در پایگاه داده های آموزشی، $X_c(31 \times k) = [x_{c1}, x_{c2}, \dots, x_{ck}]$ و $X_f(3n \times k) = [x_{f1}, x_{f2}, \dots, x_{fk}]$ به ترتیب ماتریس شامل بردارهای ویژگی پیشنهادی برای مدل درشت و ماتریس بردارهای جابه جایی مدل ظریف در نظر گرفته می شود. یکی از رگرسیون هایی که مرحله تعیین همبستگی و درون یابی را به طور هم زمان انجام می دهد رگرسیون خطی است. با استفاده از این روش بردار جابه جایی x_{fi} برای مدل ظریف آزمایشی با استفاده از رابطه (۱) محاسبه می شود:

$$x_{fi}(3n \times 1) = X_f(3n \times k) A(k \times k) W(k \times 1) \tag{1}$$

که در آن A ماتریس درون یابی و W بردار شامل وزن هایی است که به هر نمونه موجود در پایگاه داده ها تخصیص می یابد تا مدل ظریف آزمایشی با استفاده از ترکیب خطی مدل های ظریف نمونه های آموزشی با این وزن ها تخمین زده شود. در رگرسیون خطی، A^{-1} از ضرب داخلی بردارهای جابه جایی درشت $(X_c^T X_c)$ به دست می آید. اما با توجه به نیاز به مدل سازی غیر خطی بافت نرم، عملیات ضرب داخلی با روش هسته 19 با تابع پایه شعاعی 20 (RBF) به صورت معادله (۲) جایگزین می شود:

$$\varphi_{ij} = e^{-\frac{\|x_{ci} - x_{cj}\|_2^2}{2\sigma^2}}$$

(۲)

که در آن $\|x_{ci} - x_{cj}\|_2$ فاصله اقلیدسی دو بردار x_{ci} و x_{cj} در مجموعه آموزشی و σ پارامتر هسته است. بر این اساس ماتریس A به صورت زیر به دست می آید:

$$A = \begin{bmatrix} \varphi_{11} & \varphi_{12} & \dots & \varphi_{1k} \\ \varphi_{21} & \varphi_{22} & \dots & \varphi_{2k} \\ \dots & \dots & \dots & \dots \\ \varphi_{k1} & \varphi_{k2} & \dots & \varphi_{kk} \end{bmatrix}^{-1} \quad (۳)$$

به طریق مشابه بردار وزن w که محتوی ضرایب وزنی برای ترکیب خطی مقادیر درونیابی شده است از رابطه زیر محاسبه می شود:

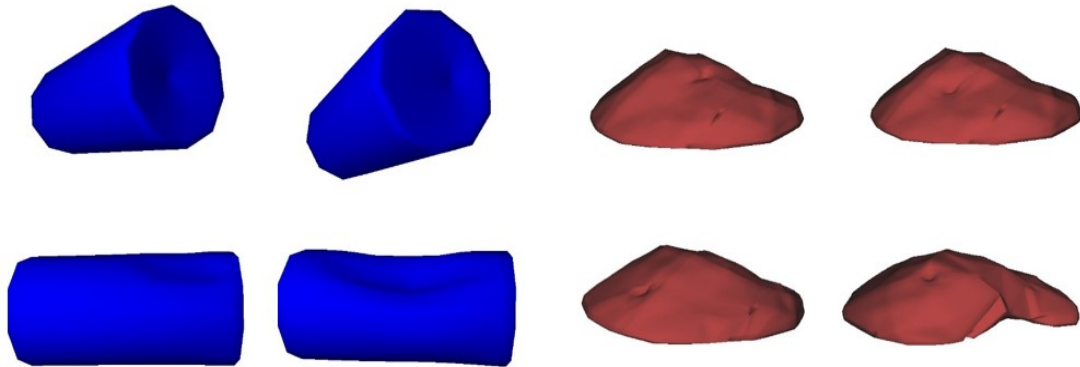
$$w = \eta [\varphi_{1i} \quad \varphi_{2i} \quad \dots \quad \varphi_{ki}]^T \quad (۴)$$

که در آن $\varphi_{ii} = e^{-\frac{\|x_{ci} - x_{ci}\|_2^2}{2\sigma^2}}$ و η ضریبی است که بردار وزن را نرمالیزه می کند به طوری که مجموع وزن ها برابر ۱ شود. با توجه به مثبت بودن مقادیر φ_{ij} ، ماتریس A که از معکوس ماتریس متشکل از این مقادیر به دست می آید شامل درایه های منفی است. این امر موجب می شود ضرب این ماتریس به بردار w ، منجر به وزن های نهایی منفی شود. اعمال وزن نهایی منفی به مقادیر ماتریس جابه جایی، معادل با این است که جابه جایی در جهت عکس ایجاد شود، مانند این که به جای نیروی فشار به بافت، نیروی کششی به بافت اعمال شده است و در نتیجه تغییر شکل تقریب زده دچار اعوجاج خواهد بود. برای رفع این مشکل، از الگوریتم حداقل مربعات غیرمنفی^{۲۱} (nnls) برای یافتن نزدیک ترین ماتریس برای تقریب ماتریس A به ماتریس A_p که دارای درایه های غیرمنفی است استفاده می شود و ماتریس A در رابطه (۱) با A_p جایگزین می شود. بردار جابه جایی رزولوشن بالا برای این نمونه آزمایشی با استفاده از ترکیب خطی بردارهای جابه جایی رزولوشن بالای نمونه های پایگاه داده با ضرایب وزنی به دست آمده متناظر حاصل می شود. در نهایت، رزولوشن مدل درشت مورد آزمایش افزایش یافته و مقدار این جابه جایی ها به مکان گره های مش افزوده می شود تا مدل ظریف حاصل شود.

۴- نتایج شبیه سازی

روش پیشنهادی روی دو مش با شکل های هندسی استوانه و کبد پیاده سازی شده است. مدل استوانه دارای مش سطحی و مدل کبد دارای مش حجمی است. برای شبیه سازی بر پایه قوانین فیزیکی از روش اجزای محدود هم چرخشی^{۲۲} [۱۳, ۳۳] (که اعوجاج کمتری نسبت به روش اجزای محدود دارد) استفاده شده است. لازم به ذکر است که هدف این مقاله شبیه سازی یک بافت مشخص با ویژگی های فیزیکی پیچیده (مانند کبد) نیست و صرفاً از مش هندسی با شکل کبد بهره گرفته شده است. شبیه سازی با استفاده از برنامه نویسی پایتون و در نرم افزار SOFA [۳۴] انجام شده است. برای بافت با شکل هندسی استوانه، ۲۸ نمونه تغییر شکل بافت نرم به ۱۸ نمونه آموزشی و ۱۰ نمونه آزمایشی تقسیم شده است. برای بافت با شکل هندسی کبد ۱۰۵ نمونه تغییر شکل بافت نرم به ۶۰ نمونه آموزشی و ۴۵ نمونه آزمایشی تقسیم شده است. در شکل ۳ تعدادی از تغییر شکل های ایجاد شده در اثر اعمال نیروهای با بزرگی متفاوت به گره های مختلف برای هر دو شکل هندسی نمایش داده شده است.

با توجه به این که هدف این روش نمایش تغییر شکل بیرونی بافت نرم است، فقط گره‌های روی سطح بافت حجمی کبد مورد نظر قرار گرفته و غنی‌سازی مبتنی بر داده نیز روی سطح مدل انجام می‌گیرد. تعداد گره‌ها و اجزای مدل سطحی استوانه و کبد در جدول‌های ۱ و ۲ نمایش داده شده است.



شکل ۳. نمونه‌هایی از تغییر شکل مدل‌های بافت نرم در پایگاه داده‌ها برای شکل‌های هندسی کبد (سمت راست) و استوانه (سمت چپ).

جدول ۱. تعداد گره‌ها و اجزای مدل‌های درشت و ظریف استوانه.

	تعداد گره‌ها	تعداد اجزا
مدل درشت	۱۸۲	۳۶۰
مدل ظریف	۷۲۲	۱۴۴۰

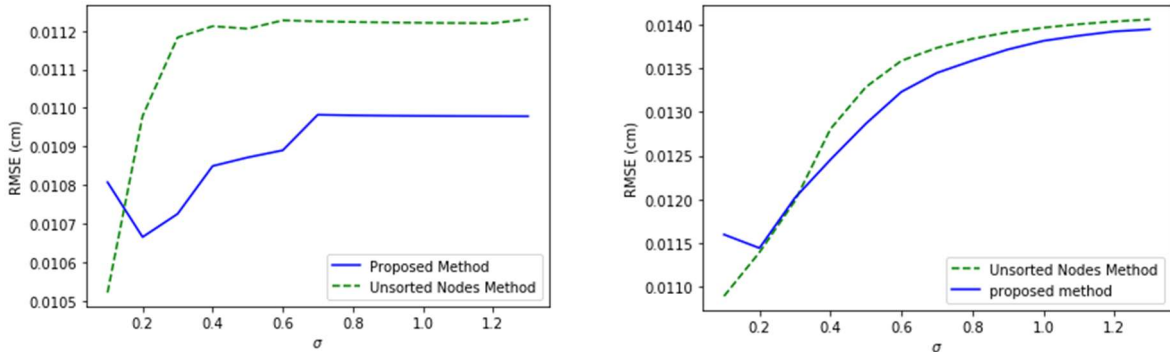
جدول ۲. تعداد گره‌ها و اجزای مدل‌های درشت و ظریف کبد.

	تعداد گره‌ها	تعداد اجزا
مدل درشت	۱۴۰	۲۷۶
مدل ظریف	۲۲۱۰	۴۴۱۶

اطلاعات جابه‌جایی گره اعمال نیرو و ۹ گره همسایگی آن برای استخراج بردار ویژگی در نظر گرفته شده است. کارایی روش پیشنهادی برای ایجاد مدل ظریف به روش غنی‌سازی مبتنی بر داده، با استفاده از مقایسه هر نمونه مدل‌سازی شده با مدل ظریف مستقیماً ایجاد شده به روش شبیه‌سازی بر پایه قوانین فیزیکی (روش دقیق) انجام گرفته و نتیجه مقایسه با استفاده از مفهوم ریشه میانگین مربعات خطا^{۳۳} (RMSE) محاسبه شده است. با توجه به این که در معادله گوسی رابطه (۲) مقدار مشخصی برای پارامتر پهنای هسته σ در نظر گرفته نشده است، شبیه‌سازی برای مقادیر مختلف σ انجام شده است تا مقدار مناسب با کمترین مقدار RMSE انتخاب شود. مقایسه کارایی استخراج بردار ویژگی به روش پیشنهادی (بردار ویژگی با بعد پایین) با روش بردار ویژگی گره‌های جابه‌جایی مرتب نشده مورد استفاده در [۳۰] (بردار ویژگی با بعد بالا) به ازای مقادیر متفاوت پارامتر هسته برای مدل‌های

کبد و استوانه در نمودارهای شکل ۴ رسم شده است. مشاهده می شود که روش پیشنهادی به ازای $\sigma=0.2$ برای هر دو مدل استوانه و کبد دارای حداقل خطای درونی RMSE است.

با توجه به کاهش بعد بردار ویژگی به روش پیشنهادی، انتظار می رود که افزایش سرعت محاسبات موجب کاهش زمان شبیه سازی شود. با توجه به این که مقادیر بردارهای ویژگی برای محاسبه مقادیر φ_{ij} در ماتریس A^{-1} ($k \times k$) و بردار وزن w ($k \times 1$) مورد استفاده قرار می گیرد و در رابطه نهایی نیز عملیات ضرب این دو انجام می گیرد، تاثیر بعد بردار ویژگی $X_{c(r \times 1)}$ ($r=3l$) در پیچیدگی محاسباتی آن ها با استفاده از نماد O بزرگ [۳۵] مورد بررسی قرار گرفته و نتایج در جدول ۳ درج شده است.



شکل ۴. محاسبه اختلاف مدل ظرفیت بازسازی شده و مدل ظرفیت ساخته شده به روش اجزای محدود با مفهوم RMSE به ازای مقادیر مختلف پارامتر هسته σ برای مدل کبد (سمت راست) و مدل استوانه (سمت چپ).

جدول ۳. بررسی تاثیر اندازه بردار ویژگی در پیچیدگی محاسباتی الگوریتم پیشنهادی.

	ماتریس و بردار	پیچیدگی محاسباتی
پیش پردازش (فقط در روش پیشنهادی): مرتب سازی بردارهای ویژگی	$X_{c(r \times k)}$	$O(kr \log(r))$
پیش پردازش: محاسبه ماتریس شامل φ_{ij}	A^{-1}	$O(rk^2)$
پردازش (زمان اجرا): بردار وزنها	w	$O(rk)$

همان طور که در این جدول مشاهده می شود، مرتب سازی ویژگی های جابه جایی برای ایجاد بردار ویژگی روش پیشنهادی، موجب افزایش زمان محاسبات مرحله پیش پردازش می شود که این مرحله در روش گره های جابه جایی مرتب نشده انجام نمی شود. از طرف دیگر، در مرحله پیش پردازش، در محاسبه برای محاسبه فاصله اقلیدسی در هر φ_{ij} از عناصر ماتریس A^{-1} ، پیچیدگی محاسباتی برابر $O(r)$ است که با توجه به این که این محاسبه در ماتریس A^{-1} به تعداد k^2 مرتبه انجام می شود، پیچیدگی محاسباتی این ماتریس برابر $O(rk^2)$ خواهد بود (بعد بردار ویژگی در پیچیدگی محاسباتی ماتریس A بی تاثیر است). در روش های مبتنی بر داده معمولاً سرعت پردازش در مرحله پردازش و نه در مرحله پیش پردازش از اهمیت بیشتری برخوردار است. با توجه به جدول ۳ مشخص می شود که پیچیدگی محاسباتی بردار وزن w مربوط به مرحله پردازش که برابر $O(rk)$ است، با بعد بردار ویژگی رابطه خطی دارد و بنابراین کاهش بعد بردار ویژگی به طور خطی روی پیچیدگی محاسباتی بردار وزن اثر می گذارد که این مساله در کاهش زمان کل شبیه سازی موثر است.

برای بررسی کارایی روش پیشنهادی از نظر مدل سازی بلادرنگ، زمان لازم برای ایجاد پنج مدل ظریف به سه روش شبیه سازی قوانین فیزیکی به روش اجزای محدود (مدل کند)، شبیه سازی مبتنی بر داده با استفاده از ویژگی های جابه جایی گره ها (روش سریع) و مدل سازی به روش پیشنهادی (روش سریع) برای بافت نرم به شکل کبد و استوانه در جدول های ۴ و ۵ ارائه شده است.

جدول ۴. مقایسه زمان لازم برای شبیه سازی تغییر شکل های مختلف بافت نرم ظریف با شکل کبد به روش اجزای محدود، مدل مبتنی بر داده با ویژگی های جابه جایی گره ها و مدل مبتنی بر داده به روش پیشنهادی (s).

	t(d1)	t(d2)	t(d3)	t(d4)	t(d5)	میانگین
مدل ظریف به روش اجزای محدود	۵۱/۲۴۱	۴۴/۴۶۶	۴۱/۶۷۱	۶۴/۸۰۷	۴۴/۲۷۳	۴۹/۲۹۲
مدل ظریف مبتنی بر داده با ویژگی های جابه جایی گره ها	۰/۵۹۵	۰/۵۹۹	۰/۶۰۰	۰/۶۰۲	۰/۶۲۱	۰/۶۰۳
مدل ظریف مبتنی بر داده به روش پیشنهادی	۰/۱۲۸	۰/۱۲۹	۰/۱۲۸	۰/۱۲۶	۰/۱۲۹	۰/۱۲۸

جدول ۵. مقایسه زمان لازم برای شبیه سازی تغییر شکل های مختلف بافت نرم ظریف با شکل استوانه به روش اجزای محدود، مدل مبتنی بر داده با ویژگی های جابه جایی و مدل مبتنی بر داده به روش پیشنهادی (s).

	t(d1)	t(d2)	t(d3)	t(d4)	t(d5)	میانگین
مدل ظریف به روش اجزای محدود	۵/۴۶۱	۱۱/۴۰۱	۱۱/۰۷۶	۷/۶۲۳	۲/۲۸	۷/۵۶۶
مدل ظریف مبتنی بر داده با ویژگی های جابه جایی گره ها	۰/۱۰۳	۰/۱۰۷	۰/۱۰۲	۰/۱۱۲	۰/۱۱۱	۰/۱۰۷
مدل ظریف مبتنی بر داده به روش پیشنهادی	۰/۰۲۲	۰/۰۲۴	۰/۰۲۳	۰/۰۲۴	۰/۰۲۴	۰/۰۲۳

۵- بحث

مقایسه خطای بازسازی روش پیشنهادی و روش بردار جابه جایی گره های مرتب نشده در نمودارهای شکل ۴ نشان می دهد که روش پیشنهادی که برای تغییر شکل های مشابه در گره های متفاوت، بردار ویژگی تقریباً یکسانی ایجاد می کند و همچنین امکان تمرکز روی تغییر شکل های اطراف گره تماس را فراهم می کند، در مقایسه با روش بردار ویژگی جابه جایی گره ها بهتر عمل می کند. روش پیشنهادی به ویژه برای مدل متقارن استوانه خطای کمتری ایجاد نموده است اما برای مدل کبد که پیچیدگی هندسی زیادی دارد، میزان خطای هر دو روش در حد یکدیگر است، با این حال باید توجه داشت که این نتیجه در روش پیشنهادی در ازای کاهش پیچیدگی محاسباتی مرحله پردازش حاصل شده است. به عبارت دیگر، مزیت روش ارائه شده برای بردار ویژگی، استفاده از بعد کمتری برای تخمین مدل ظریف است. بعد بردار ویژگی جابه جایی گره ها برای مدل کبد برابر $1 \times 420 (3 \times 140)$ و برای مدل استوانه برابر $1 \times 546 (3 \times 182)$ است. در حالی که بعد بردار ویژگی روش پیشنهادی که از اطلاعات گره تماس و ۹ گره نزدیک به آن استفاده کرده است برای هر دو مدل برابر $1 \times 30 (3 \times 10)$ است. با در نظر گرفتن این مساله که در زمان اجرا، کاهش بعد بردار ویژگی روی پیچیدگی محاسباتی بردار وزن $w(O(rk))$ به صورت خطی تاثیر دارد، بنابراین کاهش بعد در روش

پیشنهادی موجب سرعت بخشیدن به محاسبات مربوط به w می‌شود. در [۳۰] که از روش بردار ویژگی جابه‌جایی گره‌ها استفاده کرده است، برای ایجاد الگوی یکسان برای گره‌هایی که در همسایگی یکدیگر قرار دارند ایده stamping را مطرح نموده و به محاسبات افزوده است، در حالی که ایده مقاله حاضر در مورد مرتب‌سازی گره‌ها بر اساس گره تماس و گره‌های نزدیک به آن به شکل ذاتی این ویژگی را در خود دارد. از طرف دیگر، باید در نظر گرفت که ایده مطرح شده، نیاز به نمونه‌های با تغییر شکل مشابه در گره‌های متفاوت برای پایگاه داده‌ها را مرتفع نموده است.

برای بررسی کارایی سیستم از نظر مدل‌سازی بلادرنگ، زمان‌های پیاده‌سازی روش اجزای محدود برای مدل ظریف و دو روش مبتنی بر داده در جدول‌های ۴ و ۵ ارائه شده است. مقایسه زمان‌های مدل‌سازی، نشان‌دهنده سرعت قابل ملاحظه شبیه‌سازی مدل به روش مبتنی بر داده در مقایسه با روش اجزای محدود است که این زمان در مدل پیشنهادی به دلیل انتخاب بعد کمتر بردار ویژگی در مقایسه با بردار ویژگی جابه‌جایی گره‌ها باز هم کاهش پیدا کرده است. این زمان که کمتر از یک ثانیه است، در بسیاری از کاربردها می‌تواند از نظر کاربر به صورت بلادرنگ در نظر گرفته شود.

۶- نتیجه‌گیری

در این مقاله، برای مدل‌سازی بلادرنگ مدل بافت نرم در رزولوشن بالا، از غنی‌سازی مبتنی بر داده مدل درشت و تبدیل آن به مدل ظریف استفاده شد. برای افزایش سرعت روشی برای استخراج ویژگی تغییر شکل محلی بافت نرم ارائه شد. روش پیشنهادی دارای دو مزیت است:

(۱) امکان استخراج بردار ویژگی یکسان برای تغییر شکل‌های مشابه حاصل از اعمال نیرو روی گره‌های متفاوت بافت نرم را فراهم می‌کند. این مساله نیاز به وجود تعداد زیادی از نمونه‌ها (به دلیل حذف نمونه‌های زاید تغییر شکل‌های مشابه در گره‌های متفاوت) در پایگاه داده‌ها را کاهش می‌دهد.

(۲) امکان انتخاب ویژگی‌های پرمحتواتر با انتخاب جابه‌جایی گره‌های نزدیک به گره تماس و حذف باقی ویژگی‌ها را به دست می‌دهد. این مساله بردار ویژگی با بعد کمتر را نتیجه می‌دهد که منجر به کاهش محاسبات و کاهش زمان پیاده‌سازی و همچنین کاهش حافظه مورد نیاز برای ذخیره‌سازی داده‌ها شده است.

بردارهای ویژگی به دست آمده به روش پیشنهادی، در آموزش یک رگرسیون غیرخطی و در نهایت بازسازی مدل ظریف مورد استفاده قرار گرفت و محاسبه خطای بازسازی آن با خطای بازسازی به روش بردار ویژگی جابه‌جایی گره‌ها نشان داد که با وجود بعد کمتر بردار ویژگی، خطای روش پیشنهادی کمتر یا در حد روش دیگر است. همچنین این مدل از نظر پیچیدگی محاسباتی در مرحله پردازش نیز عملکرد بهتری دارد. این مساله باعث افزایش سرعت شبیه‌سازی می‌شود که در کاربردهای بلادرنگ مهم و مطلوب است.

با وجود پیاده‌سازی روش پیشنهادی روی دو مدل استوانه و کبد، باید در نظر داشت که روش ارائه شده در این مقاله برای انتخاب و استخراج ویژگی، مستقل از شکل بافت نرم بوده و بر اساس شکل مدل انجام نگرفته است (به جز فرض هموار بودن سطح بافت نرم که این فرض در بسیاری از موارد صادق است). بنابراین اگر نیاز به شبیه‌سازی مدل دیگری باشد، با در دست داشتن نمونه‌های متناظر درشت و ظریف آن در پایگاه داده‌ها، می‌توان این روش را روی ساختار جدید نیز پیاده‌سازی و کارایی آن را ارزیابی کرد.

در نهایت، این نکته باید موردنظر قرار گیرد که استفاده از اطلاعات تغییرشکل برای تعداد محدودی از گره‌ها، در مواردی که تغییرشکل‌های کلی روی بافت ایجاد می‌شود می‌تواند منجر به کاهش دقت مدل‌سازی شود. برای چنین تغییرشکل‌هایی، در کارهای آینده روش‌های مقاوم‌تری برای کاهش بعد مورد بررسی قرار می‌گیرد. علاوه بر آن، بسته به کاربرد مدل‌سازی بافت نرم می‌توان برای بهبود روش مطرح شده از مدل‌های معتبرسازی شده در پایگاه داده‌ها استفاده کرد تا مدل‌های واقعی‌تر برای کاربر بازسازی شود.

¹ Interactive

² Physically-based simulation

³ Data-driven simulation

⁴ Finite element method

⁵ Mass-spring method

⁶ Meshless algorithms

⁷ Real-time

⁸ Multi-resolution modeling

⁹ Multi-layer modelling

¹⁰ Reduced models

¹¹ Embedded models

¹² Numerical coarsening

¹³ Trade-off

¹⁴ Multi-layered simulation

¹⁵ Fine model

¹⁶ Coarse model

¹⁷ smooth

¹⁸ Pattern

¹⁹ Kernel

²⁰ Radial basis function

²¹ Non-negative least squares

²² Corotational finite element method

²³ Root mean squared error

²⁴ Big O notation

مراجع

- [1] Cotin, S., H. Delingette, and N. Ayache, *Real-time elastic deformations of soft tissues for surgery simulation*. IEEE transactions on Visualization and Computer Graphics, 1999. 5(1): p. 62-73
- [2] Nealen, A., et al. *Physically based deformable models in computer graphics*. in *EUROGRAPHICS 2005 STAR-STATE OF THE ART REPORT*. 2005. Citeseer.
- [3] Terzopoulos, D., et al. *Elastically deformable models*. in *Proceedings of the 14th annual conference on Computer graphics and interactive techniques*. 1987.
- [4] Bro-Nielsen, M. and S. Cotin. *Real-time volumetric deformable models for surgery simulation using finite elements and condensation*. in *Computer graphics forum*. 1996. Wiley Online Library.
- [5] Ma, W.C., et al., *A blendshape model that incorporates physical interaction*. Computer Animation and Virtual Worlds, 2012. 23(3-4): p. 235-243.

- [6] Pauly, M., et al., *Meshless animation of fracturing solids*. ACM Transactions on Graphics (TOG), 2005. 24(3): p. 957-964.
- [7] Nedel, L.P. and D. Thalmann. Real time muscle deformations using mass-spring systems. in proceedings. Computer Graphics International (Cat. No. 98EX149). 1998. IEEE.
- [8] Ichim, A.-E., et al., *Phace: physics-based face modeling and animation*. ACM Transactions on Graphics (TOG), 2017. 36(4): p. 1-14.
- [9] Koch, R.M., et al. *Simulating facial surgery using finite element models*. in *Proceedings of the 23rd annual conference on Computer graphics and interactive techniques*. 1996.
- [10] Zou, Y. and P.X. Liu, *A high-resolution model for soft tissue deformation based on point primitives*. Computer methods and programs in biomedicine, 2017. 148: p. 113-121.
- [11] Capell, S., et al. *A multiresolution framework for dynamic deformations*. in *Proceedings of the 2002 ACM SIGGRAPH/Eurographics symposium on Computer animation*. 2002.
- [12] DeBunne, G., et al., *Interactive multiresolution animation of deformable models*, in *Computer Animation and Simulation '99*. 1999, Springer. p. 133-144.
- [13] Müller, M. and M. Gross. *Interactive virtual materials*. in *Proceedings of Graphics Interface 2004*. 2004. Canadian Human-Computer Communications Society.
- [14] Barbič, J., F. Sin, and E. Grinspun, *Interactive editing of deformable simulations*. ACM Transactions on Graphics (TOG), 2012. 31(4): p. 1-8.
- [15] Chen, Y.J., et al. *EigenFit for consistent elastodynamic simulation across mesh resolution*. in *Proceedings of the 18th annual ACM SIGGRAPH/Eurographics Symposium on Computer Animation*. 2019.
- [16] Der, K.G., R.W. Sumner, and J. Popović, *Inverse kinematics for reduced deformable models*. ACM Transactions on graphics (TOG), 2006. 25(3): p. 1174-1179.
- [17] Fulton, L., et al. *Latent-space Dynamics for Reduced Deformable Simulation*. in *Computer graphics forum*. 2019. Wiley Online Library.
- [18] Xu, H., et al., *Interactive material design using model reduction*. ACM Transactions on Graphics (TOG), 2015. 34(2): p. 1-14.
- [19] Nesme, M., et al., *Preserving topology and elasticity for embedded deformable models*, in *ACM SIGGRAPH 2009 papers*. 2009. p. 1-9.
- [20] Nesme, M., Y. Payan, and F. Faure. Animating shapes at arbitrary resolution with non-uniform stiffness. 2006.
- [21] Chen, D., et al., *Dynamics-aware numerical coarsening for fabrication design*. ACM Transactions on Graphics (TOG), 2017. 36(4): p. 1-15.
- [22] Kharevych, L., et al., *Numerical coarsening of inhomogeneous elastic materials*. ACM Transactions on graphics (TOG), 2009. 28(3): p. 1-8.
- [23] Liu, H.-T.D., A. Jacobson, and M. Ovsjanikov, *Spectral coarsening of geometric operators*. arXiv preprint arXiv:1905.05161, 2019.
- [24] Torres, R., et al., *High-resolution interaction with corotational coarsening models*. ACM Transactions on Graphics (TOG), 2016. 35(6): p. 1-11.
- [25] Alexander, O., Rogers, M., Lambeth, W., Chiang, J.Y., Ma, W.C., Wang, C.C., Debevec, P.: The digital emily project: Achieving a photorealistic digital actor. IEEE Computer Graphics and Applications 30(4), 20–31 (2010).
- [26] Santesteban, I., et al., *SoftSMPL: Data-driven Modeling of Nonlinear Soft-tissue Dynamics for Parametric Humans*. arXiv preprint arXiv:2004.00326, 2020.
- [27] Zurdo, J.S., J.P. Brito, and M.A. Otaduy, *Animating wrinkles by example on non-skinned cloth*. IEEE Transactions on Visualization and Computer Graphics, 2012. 19(1): p. 149-158.
- [28] Kim, M., et al., *Data-driven physics for human soft tissue animation*. ACM Transactions on Graphics (TOG), 2017. 36(4): p. 1-12.

- [29] Yu, D. and T. Kanai, *Data-driven subspace enrichment for elastic deformations with collisions*. The Visual Computer, 2017. 33(6-8): p. 779-788.
- [30] Seiler, M., J. Spillmann, and M. Harders, *Data-driven simulation of detailed surface deformations for surgery training simulators*. IEEE transactions on visualization and computer graphics, 2014. 20(10): p. 1379-1391.
- [31] Bounik, Z., M. Shamsi, and M.H. Sedaaghi, *Accurate coarse soft tissue modeling using FEM-based fine simulation*. Multimedia Tools and Applications, 2019: p. 1-14
- [32] Bender, J., et al. *A survey on position-based simulation methods in computer graphics*. in *Computer graphics forum*. 2014. Wiley Online.
- [33] Bell, N., Y. Yu, and P.J. Mucha. Particle-based simulation of granular materials. in *Proceedings of the 2005 ACM SIGGRAPH/Eurographics symposium on Computer animation*. 2005.
- [34] Faure, F., et al., *Sofa: A multi-model framework for interactive physical simulation*, in *Soft tissue biomechanical modeling for computer assisted surgery*. 2012, Springer. p. 283-321.
- [35] Cormen, T.H., et. al., *Introduction to algorithms*, 3rd ed., MIT press, 2009.